

京都大学工学部

正会員 工博 合田 健

シ

シ

末石富太郎

富山県立大谷技術専大

シ

工修〇寺西 靖治

1. 緒言 雨水流流出量算定において最も重要な問題点は流出遲滞の評価である。遲滞現象と適確に把握するためには必然的に流出雨水の綿密なる追跡を行なわねばならず、雨水の地表面および管内での流速を正確に知る必要がある。しかるに、これらのことについては従来の雨水流出量算定法では解析が困難であった。そこで本研究では実証的立場から雨水流出機構を根本的に究明し、この難点を取り除くとともに、種々の実用性を取り入れてより合理的な雨水流出量算定法を提示しようとするものである。なお、以後の計算例に用ひる基礎流出率および基礎表面流速とは一般的に、それが降雨強度・継続時間に応じた単一表面工種における単位面積・単位時間当りの雨水流出量、および工種の表面を流下するときの流速であって、これらはいずれもあらかじめ実験または実測によつて定められるべき値である。

2. 計算例 本法による雨水流出量計算過程はつきのとおりである。ここで、実例として排水面積9.3haを有する神戸市域の1排水区域を採用し、降雨条件として $i = 79.0 \text{ mm/hr}$, $t = 10 \text{ min}$ 与えるものとする。

Step1—排水区域の空中写真を撮り、縮尺1/1000程度にアントレーフのち、この原図上で、地表こう配、形状、雨水管きょ系列、表面工種の分布状態などに応じて41個のブロックに分割する(図-1)

Step2—排水区域内に存在する表面工種を、屋根面、コンクリートおよびアスファルト舗装道、無舗装道、緑地、コート(グラウンド)および未開発地、鉄道敷、裸地その他々工種とし、Step1で定めたブロックごとにそれぞれの工種の占める面積を計算する(表-1)。

Step3— $i = 79.0 \text{ mm hr}$, $t = 10 \text{ min}$ に応する基礎流出率(表-1)および基礎表面流速を決定する。

Step4—Step2で求めたブロックごとの各表面工種面積にStep3で決定した基礎流出率を乗じて統計し、各ブロックでの雨水流出量を求め(表-1)。

Step5—各ブロックごとのハイドログラフ作成に際しては、Step3で求めた基礎表面流速を含めてブロック流入流速を求め、これでブロック流入幅を除して流入時間Tを算出しために、対象とした降雨の継続時間T(=10min)との割合、すなはちに留意して

図-1 排水区域アントレーフ

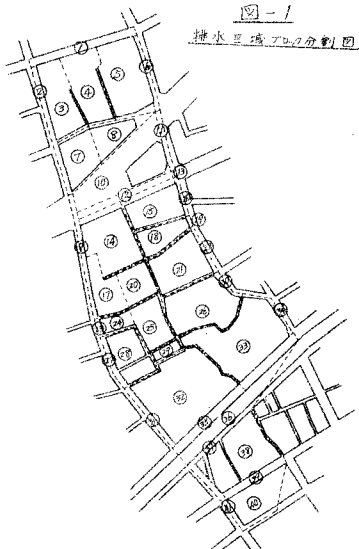


表-1

TB, NO.	工種	面積 m ²	$i = 79.0 \text{ mm hr}$ 基礎流出率	流出量 m ³ /s	
				計	平均
1	アス	1480	21.6	0.032	0.032
2	アス	690	21.6	0.015	0.015
3	屋	1884	21.6	0.041	
	コ	329	21.6	0.007	
	緑	479	11.4	0.005	
	他	807	12.2	0.010	0.063
41	アス	590	21.6	0.013	0.013

図-2の例にしたがう。ここで求まつたブロック・ハイドログラフは、管きょ系統上に設定した点(ここでは18点)ごとに合成してあく。

Step6—Step5で求めた最大流出量の値を用い、管きょに沿って排水区域最下流点までの流下時間もマンニク公式などを利用して求める。

Step7—Step6で求めた流下時間をそれを考慮しつゝ、ブロック・ハイドログラフの作図合算を行ひ、もとて全排水区域のハイドログラフを得る(図-3)。

3. 検討 以上行なった計算過程における解説および検討を順次あわせておく。 Step1—排水区域を41個のブロックに細分割した理由は雨水流出現象を観察し追究する目的からである。たゞ、要求される計算精度に応じて1ブロックを拡大してもよい。 Step2, Step3, Step4—類似した基礎流出率および基礎表面流速を有すると思われる表面工種と統合して計算を簡易化することも可能である。この場合も所要計算精度に準まる。 Step5—ブロック流入流速の合成にあたっては、ここでは、Step3で求めた工種別基礎表面流速をもつ工種が各ブロック内で占める面積比率によつて加重平均を行なう方法を用いた。この方法は水理学的には必ずしも正しいとはいひないが、概略的に適合性が認められた。 Step6—各点から最下流点までの流下時間を計算する際に、雨水を単独に取り扱つたが、これは、対象とした降雨の継続時間が10分といふ非常に短かいものであるため、各点から流下してくる雨水は互に合流しないと仮定したことによる。

Step7—最終的に得られた全排水区域ハイドログラフ(図-3)と実測によつて得られたハイドログラフを比較するため掲示したのが図-4である。前者は後者に比べて、立ち上がりがやや早く、ピーク時点は3分ほど遅れ、流出は17分前に終つてしまつたが、全体として両曲線はよく接近しており、ピーカー流量の差も本事から5パーセントといふ結果が得られてゐる。

4. 結論 本研究によって得られた成果によつて、降雨強度、継続時間に応じた雨水流出水の追跡が可能となった。この方法を用ひれば、従来の雨水流出量算定諸法の欠点が相手補充されよう。今回用いた実験装置は規模の小さいものであったが、今後さらに大型化、精密化してデータの集積を行なうならば、高い信頼度をもつて、注意強度、注意継続時間、有効降雨に付いて雨水流出量の算定がただちに行なう得るようになろう。

